



دانشگاه کاشان

دانشکده فیزیک

پایان نامه جهت اخذ درجه کارشناسی ارشد

در رشته فیزیک حالت جامد

# ساختار نواری و خواص ترابردی نانونوارهای گرافینی

استاد راهنما:

دکتر ابراهیم حیدری سمیرمی

به وسیله:

زهره جلالی

بهمن ماه ۱۳۹۰

بِسْمِ اللَّهِ الرَّحْمَنِ الرَّحِيمِ  
الْحَمْدُ لِلَّهِ الَّذِي  
خَلَقَ الْمَوَدَّعَةَ  
وَالْحَمْدُ لِلَّهِ الَّذِي  
خَلَقَ الْمَوَدَّعَةَ

ش و پاس را می را رمن ایدویاور . زرت و پاس ی ان وردگاریتارا یان یدو ق  
عم و داش ر و دمان دو ی ر وان عم و داش مان و دو و ی از عم و راروزمان  
سات.

### قدم گان روی زن، روما م

پاس نطات بباوردن، زت و وردان، سات وان، تریدن  
پاس عا . مرثا و مای ایدش و دشان ان مردن روزکاران مرن ن ات.  
و پاس ق ی رشان یادر سات و مردای و س نشان جات ی لید  
و ت ی ن شان و ش ی اند.  
و قدم و ام و و دش شادی ش و ما آراش ن  
و ام و دشان ما دل ی ن ات.

## و ردای

مد و پاس برای را وقت بیداش و ، را ما طا و دو دوام ناش را از از گاش و انارم.  
و دیان تازه او، خام مران و خارش.

اجا و دلازم بی دام از مان اساید روارم و ه اساید دوره کار ثانی از بر ول سایان ز، را ال  
عم و و ضال اخلاقی یاری ودهار غد و مام.

از اتاد ای و روار "ناب آ می د مرا اتم بیدری "مری" را مان اجا- را اجام بق، و مش و  
گارش ان پایان ل ودهار ما و پاس اری را دارم.

ن از آیان "د مر بداعی رضای" و "د مر بیدا سان روز" وان اساید و اوردا ل دا ه ان پایان

را ورد طا ، اردار و ج د ، مر ودهار بی مام.

پایان از ناب آ می "د مر بدای بیدر بامری" توان مانده میلالت تبیی دا ه حمل زت ودهار  
پاس اری بی مام.

## چکیده

در این پایان نامه، خواص ترابرد کوانتومی نانونوارهای گرافینی با لبه‌های زیگزاک و دسته مبلی، بر اساس ساختار نواری آن‌ها بررسی شده است. در این راستا، توجه خود را به اثرات بی‌نظمی لبه و حضور نقص‌های لبه شامل پراکنده‌سازهای منفرد و جای خالی روی لبه معطوف می‌کنیم و رسانندگی نانونوارها را در حضور این بی‌نظمی‌ها و نقص‌ها، مورد مطالعه قرار می‌دهیم. همچنین ترابرد وابسته به اسپین نانونوارهای زیگزاک (zGNR) با لبه‌های مغناطیده به کمک فرمول‌بندی لاندائور در مدل بستگی قوی بررسی شده است. اثر نقص منفرد و پراکنده‌ساز ضعیف روی ترابرد اسپین مطالعه می‌شود. برای شدت‌های مختلف مغناطیدگی روی لبه‌ها، اثر فیلترشدگی در انرژی‌های خاصی مشاهده شده است. در مورد zGNR با یک لبه‌ی مغناطیده، قطبش در یک انرژی مشخص به ۱۰۰٪ می‌رسد، اما در مورد zGNR با دو لبه‌ی مغناطیده قطبش در یک بازه انرژی به ۱۰۰٪ می‌رسد. روند فیلترشدگی در مورد دو لبه در مقایسه با یک لبه بهبود می‌یابد. با افزایش شدت مغناطیدگی در یک لبه، انرژی که فیلترشدگی در آن روی می‌دهد، انتقال می‌یابد. در حالی که در مورد دو لبه با افزایش شدت مغناطیدگی، بازه انرژی که در آن فیلترشدگی رخ می‌دهد، افزایش می‌یابد. در حضور پراکنده‌ساز منفرد در لبه‌ی سیستم، قطبش با افزایش شدت پراکنده‌ساز افزایش می‌یابد.

کلمات کلیدی:

۱. ترابرد وابسته به اسپین ۲. نانونوارهای زیگزاک گرافین ۳. پراکنده‌ساز ضعیف ۴. لبه‌های مغناطیده

## فهرست مطالب

عنوان	صفحه
پیشگفتار.....	۱
<b>فصل اول: گرافین و خواص آن</b>	
۱-۱. مقدمه.....	۲
۲-۱. پایداری در دو بعد.....	۳
۳-۱. دلیل توجه به گرافین.....	۶
۴-۱. ویژگی‌های اصلی الکترونی گرافین.....	۷
۱-۴-۱. ساختار شبکه.....	۷
۲-۴-۱. ساختار نواری.....	۹
۵-۱. الکترون‌های دیراک: حد انرژی کم.....	۱۱
۶-۱. جرم سیکلوترونی.....	۱۴
۷-۱. ساختار بلوری.....	۱۵
۸-۱. تونل زنی کلاین.....	۱۹
۹-۱. تونل زنی کلاین در صفحات گرافینی تک لایه.....	۲۱
۱۰-۱. الکترون‌های کایرال دیراک.....	۲۴
۱۱-۱. اثر کوانتومی غیرعادی هال در گرافین.....	۲۶
۱۲-۱. الکتروپدینامیک کوانتومی غیر عادی در گرافین دولایه.....	۳۰
<b>فصل دوم: مفهوم رسانندگی در ابعاد مزوسکوپی</b>	
۱-۲. مقدمه.....	۳۳
۲-۲. رژیم‌های ترابرد در سیستم‌های مزوسکوپی.....	۳۴
۱-۲-۲. مقیاس‌های طولی مزوسکوپی.....	۳۴
۲-۲-۲. رژیم تراپردی پخشی.....	۳۵
۳-۲-۲. رژیم جایگزیدگی قوی.....	۳۷
۴-۲-۲. مدل اندرسون برای بی نظمی.....	۳۷
۲-۳. فرمولبندی لانداور.....	۳۸
۴-۲. تابع گرین.....	۳۹
۱-۴-۲. تابع گرین تک ذره.....	۴۲
۲-۴-۲. رابطه بین تابع گرین و ضریب عبور.....	۴۲

۴۴	۲-۴-۳. روش تابع گرین شبکه.....
۴۵	۲-۴-۴. خودانرژی رابط‌های نیمه نامتناهی.....
۴۷	۲-۴-۵. روش تابع گرین بازگشتی.....
۵۰	۲-۴-۶. شبکه گرافین.....
۵۰	۲-۵-۵. خواص الکترونی نانونوارهای گرافینی.....
۵۳	۲-۵-۲. خواص الکترونی نانونوارهای دسته مبلی (aGNRs).....
۵۷	۲-۵-۳. خواص الکترونی نوارهای زیگزاگ (zGNRs).....

## فصل سوم: اثرات بی‌نظمی لبه بر خواص ترابرد کوانتومی

۶۱	۳-۱. مقدمه.....
۶۱	۳-۲. ترابرد کوانتومی در نانونوارهای گرافینی.....
۶۴	۳-۳. رسانندگی کوانتومی نانو نوارهای گرافینی با نقص لبه.....
۶۸	۳-۴. نقص‌های منفرد.....
۶۹	۳-۴-۱. جای خالی منفرد.....
۷۱	۳-۴-۲. پراکنده‌سازهای ضعیف منفرد.....
۷۳	۵-۳. یک مدل یک بعدی ساده.....
۷۵	۳-۶. بی‌نظمی‌های ضعیف.....
۷۷	۳-۷. GNRs با لبه‌های مغناطیده.....
۷۹	۳-۸. با مغناطیدگی لبه در غیاب بی‌نظمی‌ها و نقص‌ها.....
۸۴	۳-۸-۲. افزایش طول مغناطیدگی.....
۸۶	۳-۹. نقص منفرد.....
۸۷	۳-۹-۲. جای خالی منفرد.....
۸۹	۳-۹-۳. پراکنده‌ساز ضعیف منفرد.....
۹۳	۱۰-۳. نتیجه‌گیری.....
۹۴	پیوست الف.....
۹۷	پیوست ب.....
۱۰۰	فهرست مراجع.....

## فهرست شکل ها

عنوان	صفحه
شکل ۱-۱. مادر تمام ساختارهای گرافیت، گرافین است. این ساختار دویبعدی می‌تواند به صورت فلورین صفر بعدی در هم پیچیده شود، نقش یک نانولوله دو بعدی را بازی کند و یا به گرافیت سه‌بعدی تبدیل شود..... ۴	۸
شکل ۱-۲. چپ: شبکه لانه زنبوری. راست: شبکه وارون لانه زنبوری.....	۸
شکل ۱-۳. جرم سیکلوترونی حامل‌های بار در گرافین به عنوان تابعی از چگالی آن‌ها $n$ . مثبت و منفی $n$ به ترتیب به حفره‌ها و الکترون‌ها مربوط است. علامت‌ها داده‌های آزمایشگاهی هستند و منحنی، بهترین تطبیق با معادله (۱-۲۸) است. ( $m_0$ جرم الکترون آزاد) .....	۱۴
شکل ۱-۴. تصویری از اوربیتال‌های ظرفیت کربن. سه اوربیتال $\sigma$ در صفحه گرافین و اوربیتال $\pi$ عمود بر صفحه. ب- نوار $\sigma$ پیوندی و غیرپیوندی با یک گاف انرژی به بزرگی $12 eV$ جدا شده اند در حالی که حالت‌های $\pi$ پیوندی و غیرپیوندی نزدیک تراز فرمی واقع شده است. ج- پیوندهای $\sigma$ برای پیش‌بینی ویژگی‌های الکترونی حول فرمی صرف نظر می‌شود.....	۱۵
شکل ۱-۵. پاشندگی الکترونی در شبکه لانه زنبوری. چپ: طیف انرژی (در واحد $t$ ) برای مقادیر متناهی $t$ و $t'$ ، با $t = 2/7 eV$ و $t' = -0/2 t$ . راست: بزرگ نمایی نوارهای انرژی نزدیک به یکی از نقاط دیراک .....	۱۶
شکل ۱-۶. تونل زنی کلاین.....	۲۰
شکل ۱-۷. الف- طرح کلی از طیف گرافین تک لایه حول نقطه دیراک که بر اثر پتانسیل اعمالی $V_0$ به سه ناحیه تقسیم می‌شود. شبه اسپین ( $\sigma$ ) موازی (پادموازی) با جهت حرکت الکترون (حفره) است ب- تراز فرمی (نقطه چین) در نوار هدایت بیرون سد و نوار ظرفیت درون سد قرار گرفته است.....	۲۱
شکل ۱-۸. تونل زنی کوانتومی کلاین برای گرافین تک لایه، احتمال عبور $T$ از یک سد پتانسیل با عرض $nm$ ۱۰۰ به عنوان تابعی از زاویه ورودی برای گرافین که چگالی الکترون‌های خارج از سد $10^{12} cm^{-2}$ ۱۰/۵ انتخاب شده است. با انرژی الکترون‌های فرودی $E \approx 80 meV$ ، $V_0 = 200 meV$ ، $\lambda \approx 50 nm$ .....	۲۳
شکل ۱-۹. الف- کوانتیده شدن ترازهای لاندائو بر حسب چگالی حالت‌های انرژی برای فرمیون‌های دیراک در گرافین تک لایه. سمت راست: در این حالت $E \propto \sqrt{N}$ است. سمت چپ: کوانتیده شدن ترازهای انرژی برای نیمرسانای معمولی. در این حالت $E_N \propto (N+1/2)$ .....	۲۸
شکل ۱-۱۰. رسانندگی عرضی و مقاومت ویژه طولی بر حسب چگالی حامل‌ها در اثر کوانتومی هال گرافین تک لایه. [۱] وجود نواحی تخت برای $\sigma_{xy}$ در ضرایب نیمه صحیح $4e^2/h$ .....	۲۹
شکل ۱-۱۱. اثر کوانتومی هال غیرعادی برای فرمیون‌های دیراک جرم دار در گرافین دولایه .....	۳۱
شکل ۱-۱۲. گونه‌های متفاوت از کوانتتش لاندائو در گرافین. الف- دنباله ترازهای لاندائو در چگالی حالت‌ها $D$ با $E_N \propto \sqrt{N}$ برای فرمیون‌های دیراک بدون جرم در گرافین تک لایه بیان شده است و ب- برای فرمیون‌های دیراک جرم دار در گرافین دولایه با $E_N \propto \sqrt{N(N-1)}$ . ج- با اعمال ولتاژ در گرافین دولایه انتظار ترازهای لاندائو استاندارد، $E_N \propto N + 1/2$ ، می‌رود.....	۳۲



شکل ۲-۱. سیستم فرضی برای فرمولبندی لاندائور. دو مخزن از طریق رابطها به یک قطعه مزوسکوپی با ضریب عبور  $T(E)$  متصل شده اند. ۴۰.....

شکل ۲-۲. رابطهای نیمه نامتناهی را می توان به کمک خود انرژی آنها توصیف کرد. ۴۶.....

شکل ۲-۳. دویخش منزوی به کمک معادله دایسون به هم وصل می شوند. ۴۸.....

شکل ۲-۴. روش تابع گرین بازگشتی، قطعه را به ستونهای منفرد تقسیم می کند. سپس تابع گرین ستونهای منزوی را محاسبه کرده و توابع گرین را از چپ اضافه می کند تا انتشارگر بین اولین و آخرین ستون به دست آید. ۴۹.....

شکل ۲-۵. شبکه لانه زنبوری می تواند با صفر گذاشتن عناصر جهش مشخص در شبکه مربعی به دست آید. ۵۰.....

شکل ۲-۶. شبکه لانه زنبوری گرافین. (a) برش صفحه گرافین در دو جهت که نامگذاری شده با  $zGNRs$  و  $aGNRs$  (c) ۵۱.....

شکل ۲-۷. هندسه نوارهای گرافین. (a) نواز زیگزاگ ( $N=5$ )، نوار دسته مبلی ( $N=8$ ). یک یاخته واحد دارای  $2N$  اتم است. ۵۲.....

شکل ۲-۸. طول پیوند C-C برای لایه های متفاوت کربن برحسب فاصله آنها از لبه نانونوار دسته مبلی (a)  $N=8$  و (b)  $N=14$  ۵۳.....

شکل ۲-۹. ساختار نواری انرژی دو نانونوار دسته مبلی ( $N$ -aGNRs) و یک نانونوار زیگزاگ ( $N$ -zGNR) برای پهنایهای متفاوت ( $N=16,17$ ). ساختار نواری مدل بستگی قوی (بالا) با ساختار نواری محاسبات ابتدا به ساکن مقایسه شده است (پایین). ۵۵.....

شکل ۲-۱۰. ساختار نواری انرژی برای سه نانوار دسته مبلی در سه پهنای متفاوت نشان می دهد که با افزایش پهنای ( $N$ )، گاف انرژی کاهش می یابد. ۵۶.....

شکل ۲-۱۱. ساختار نواری انرژی برای دو نانونوار زیگزاگ ( $N$ -zGNRs) برای پهنایهای متفاوت ( $N=8,32$ ). ۵۸.....

شکل ۲-۱۲. چگالی الکترونی قطبش اسپینی ساختار (a) فرومغناطیس، (b) پادفرومغناطیس  $z$ -GNRs. قرمز و سبز به ترتیب به اسپین بالا و پایین مربوط می شود. ۵۹.....

شکل ۳-۱. ساختار اتمی، ساختار نواری و رسانندگی کوانتومی (از محاسبات ابتدا به ساکن) نانونوارهای مختلف گرافین: (a) 16-aGNR، (b) 17-aGNR، 8-zGNR با (c) سمت گیری اسپین پادموازی ( $\uparrow\downarrow$ ) یا (d) موازی ( $\uparrow\uparrow$ ) بین دو لبه مغناطیسی. ترابرد وابسته به اسپین تنها برای اسپین موازی (فرومغناطیس) قابل مشاهده است. سمت گیری اسپین با اسپین  $\alpha$  و اسپین  $\beta$  (خط چین) نمادگذاری شده است. ۶۲.....

شکل ۳-۲. ساختار نواری انرژی و رسانندگی کوانتومی در مدل بستگی قوی برای 16,17-aGNR و-8 zGNR ۶۴.....

شکل ۳-۳. هندسه نانونوار گرافینی، (a) : نوار زیگزاگ ( $N=4$ ) (b) : نوار دسته مبلی ( $N=7$ ). یک یاخته واحد شامل دو زیرشبکه A و B است. پهنای یاخته با  $N$  و طول آن با  $M$  نمایش داده می شود. ۶۵.....

شکل ۳-۴. (۱) رسانندگی نوار زیگزاگ ( $N=8, W=17.3$ ) ایده آل و نوار با جای خالی در لبه. LDOS (۲) برای اتم  $1B$  نوار ایده آل و نوار دارای یک جای خالی در نزدیک ترین همسایه آن یعنی  $1A$  ۶۹.....

**شکل ۳-۵.** (a) رسانندگی نوار دسته میلی ( $N=14, W=17.4 \text{ \AA}$ ) بدون جای خالی در لبه، با یک جای خالی تک اتمی و با یک جای خالی دواتمی. (b)  $LDOS$  برای اتم  $2B$  وقتی که هیچ جای خالی وجود ندارد و وقتی نزدیک ترین جفت از اتم‌های همسایه آن ( $1A, 1B$ ) برداشته شود. (c)  $LDOS$  اتم  $1B$  وقتی جای خالی وجود ندارد و وقتی نزدیکترین اتم همسایه آن  $1A$  برداشته شود. .... ۷۰

**شکل ۳-۶.** (a) رسانندگی نوار زیگزاگ ( $N=8$ ) برای شدت‌های متفاوت پتانسیل نقص وقتی نوار یک پراکنده‌ساز ضعیف در لبه اش دارد و (b)  $LDOS$  یک اتم لبه برای  $V=0 \text{ eV}$  (بدون نقص) و  $V=2.0 \text{ eV}$  در آن جایگاه. .... ۷۲

**شکل ۳-۷.** (a) رسانندگی یک نوار دسته میلی  $N=14$  برای شدت‌های مختلف پتانسیل نقص وقتی نوار یک پراکنده‌ساز ضعیف در لبه‌اش دارد. (b)  $LDOS$  یک اتم لبه برای  $V=0 \text{ eV}$  (بدون نقص) و  $V=2.0 \text{ eV}$  در آن جایگاه. .... ۷۲

**شکل ۳-۸.** مدل یک بعدی از یک سیستم شامل نوارهای رسانش و حالت شبه جایگزیده (QLS). حجم سیستم با یک سیم کوانتومی (QW) نمایش داده شده است که یک نوار رسانش دارد. .... ۷۳

**شکل ۳-۹.** نمودار رسانایی بر حسب انرژی برای نوار زیگزاگ ( $N=8$ ) با بی‌نظمی که روی هر دو لبه در طول‌های  $100 \text{ \AA}$  و  $1000 \text{ \AA}$  توزیع شده است. حضور بی‌نظمی ضعیف باعث می‌شود نوار زیگزاگ از فلز تبدیل به نیم‌رسانا شود. .... ۷۵

**شکل ۳-۱۰.** رسانایی بر حسب طول نوار برای دو نوار زیگزاگ ( $N=8, 12$ ) با شدت‌های متفاوت بی‌نظمی ( $V_{\text{random}}=0.25 \text{ eV}, 1.0 \text{ eV}$ ) رسم شده است. خط‌های راست، نمایی هستند و برای طول بزرگ‌تر از  $50 \text{ \AA}$  با داده‌های نوار تطبیق می‌کنند. .... ۷۶

**شکل ۳-۱۱.** رسانایی بر حسب طول نوار برای نوارهای دسته‌میلی ( $N=8, 14$ ) با شدت‌های بی‌نظمی متفاوت ۷۷

**شکل ۳-۱۲.** مغناطیده کردن لبه‌های گرافین با روش مجاورت مغناطیسی. .... ۷۹

**شکل ۳-۱۳.** رسانندگی نانونوار دسته میلی با پهنا  $N=14$  برای نوار ایده آل و نوار مغناطیده در یک لبه با شدت مغناطیدی برابر با یک ( $d=1$ ). مغناطیدی اثری روی رسانندگی آن ندارد. .... ۸۰

**شکل ۳-۱۴.** رسانندگی برای نانونوار زیگزاگ ( $N=8$ ). مقایسه حالت غیرمغناطیده و مغناطیده با شدت  $d=1$ . .... ۸۰

**شکل ۳-۱۵.** رسانندگی برای شدت‌های مختلف مغناطیدی ( $d=0.4, 0.6, 1$ ). با افزایش  $d$  انرژی که در آن رسانندگی صفر است، زیاد می‌شود. .... ۸۱

**شکل ۳-۱۶.** قطبش zGNR با یک لبه‌ی مغناطیده در شدت‌های مختلف مغناطیدی. با افزایش  $d$  انرژی که در آن قطبش بیشینه است، افزایش می‌یابد. .... ۸۲

**شکل ۳-۱۷.** رسانندگی برای zGNR با دو لبه‌ی مغناطیده در شدت مغناطیدی برابر با یک. .... ۸۳

**شکل ۳-۱۸.** قطبش zGNR با دو لبه‌ی مغناطیده. با افزایش  $d$  بازه‌ای که قطبش بهبود می‌یابد. .... ۸۳

**شکل ۳-۱۹.** قطبش zGNR با شدت مغناطیدی برابر با یک برای یک لبه و دو لبه مغناطیده. .... ۸۴

**شکل ۳-۲۰.** قطبش zGNR برای یک و دو لبه مغناطیده در طول‌هایی با  $10$  و  $60$  یاخته واحد. .... ۸۵

شکل ۳-۲۱. رسانندگی برای شدت‌های متفاوت مغناطیدگی ( $d=0.4,0.6,1$ ) برای zGNR یک لبه مغناطیده با طول $M=60$ .....	۸۶
شکل ۳-۲۲. در سیستم مورد بررسی، قطعه بین دو رابط ایده‌آل قرار گرفته است. قطعه، نوار زیگزاگ با پهنای $W=7.5a_0$ و طول $L=8\sqrt{3} a_0$ با سه جای خالی در هر لبه است.....	۸۶
شکل ۳-۲۳. موقعیت هندسی جای خالی در جایگاه 1A در یاخته $M=5$ در zGNR و رسانندگی zGNR در حضور جای خالی و بدون جای خالی برای یک لبه مغناطیده با شدت مغناطیدگی برابر با یک.....	۸۷
شکل ۳-۲۴. رسانندگی zGNR با یک جای خالی در شدت‌های متفاوت مغناطیدگی.....	۸۸
شکل ۳-۲۵. رسانندگی zGNR با دو لبه مغناطیده که دارای یک جای خالی است.....	۸۸
شکل ۳-۲۶. رسانندگی zGNR با مغناطیدگی در یک لبه با شدت یک در حضور پراکنده ساز و عدم حضور پراکنده ساز.....	۸۹
شکل ۳-۲۷. رسانندگی zGNR با یک لبه مغناطیده با شدت مغناطیدگی یک در شدت‌های متفاوت پراکنده ساز.....	۹۰
شکل ۳-۲۸. رسانندگی zGNR با شدت‌های مختلف مغناطیدگی در حضور پراکنده ساز با شدت ۵.....	۹۱
شکل ۳-۲۹. رسانندگی zGNR برای مغناطیدگی دولبه با شدت یک در حضور پراکنده ساز و عدم حضور پراکنده ساز.....	۹۲

## پیشگفتار

نازک ترین ماده شناخته شده در جهان گرافین است که تک صفحه اتمی گرافیت است. برای این که بتوان آن را به طور خالص بررسی کرد، باید از محیط اطرافش منزوی شود. صفحات اتمی موضوع شناخته شده‌ای بودند، اما ماده‌ای با ضخامت تک اتم ناشناخته مانده بود که دلیل اصلی آن، ماهیت به ظاهر ممنوع رشد کریستال‌های کم بعد است. تا اینکه گروه منچستر در سال ۲۰۰۴ ایده مداد را دنبال کرد و موفق به منزوی کردن گرافین برای اولین بار شد. مداد که ماده اصلی آن همان گرافیت است، از توده لایه‌های گرافین تشکیل شده که به طور ضعیف بوسیله نیروهای واندروالس کوپل شده است. با کشیدن مداد روی کاغذ، توده‌ای از گرافین تولید می‌شود و جایی بین آنها، احتمال وجود تک لایه‌های گرافین هست. اگرچه این احتمال کم است ولی صفر نیست.

طیف الکترونی غیر معمول گرافین، آن را به پدیده‌ای جدید در فیزیک ماده چگال تبدیل کرده است، زیرا محاسبات نسبیتی را در آزمایشگاه برای ما ممکن ساخته است و پلی بین فیزیک ماده چگال و فیزیک انرژی‌های بالا است.

در فصل اول، به معرفی ساختار شبکه گرافین می‌پردازیم و برخی از خواص گرافین از جمله محاسبه رابطه پاشندگی گرافین بیان می‌شود. همچنین برخی از خواص غیرعادی در گرافین، از جمله اثر کوانتومی غیر عادی هال و الکتروپدینامیک کوانتومی در گرافین و پارادکس کلاین بررسی می‌شود.

فصل دوم، به معرفی سیستم‌های مزوسکوپی می‌پردازیم و تکنیک تابع گرین و روش لاندائور که برای محاسبات رسانندگی نیاز داریم، معرفی می‌شوند. سپس خواص الکترونی گرافین که شدیداً به هندسه نانووارها بستگی دارند، بیان می‌شود.

فصل سوم، ترابرد الکترونی نانووارها در حضور بی‌نظمی‌هایی مانند نقص شبکه و پراکنده‌سازها بررسی می‌شود. سپس ترابرد اسپین در حضور مغناطیدگی و بی‌نظمی‌های شبکه به دست می‌آید. محاسبات ما براساس مدل بستگی قوی انجام شده و برنامه‌ها با زبان برنامه‌نویسی فرترن ۹۰ نوشته شده است.

# فصل اول

## گرافین و خواص آن

## ۱-۱. مقدمه

کربن یکی از پرکاربردترین عناصر در جدول تناوبی است، نقش منحصر به فردی در طبیعت دارد. شکل گیری کربن در ستاره‌ها نتیجه‌ی یکی شدن سه ذره آلفا، پدیده‌ای است که باعث به وجود آمدن تمام عناصر نسبتاً سنگین در عالم می‌شود. توانایی اتم‌های کربن در تشکیل شبکه‌های پیچیده (حداقل در شکل‌های شناخته شده) اساس شیمی آلی و مبنایی برای وجود حیات در عالم است. سیستم‌های بر پایه کربن تعداد نامحدودی از ساختارهای گوناگون با خواص فیزیکی بسیار متفاوت را نشان می‌دهد. کربن خالص در طبیعت به صورت الماس و گرافیت یافت شده است، با این که تنها آرایش اتم‌های کربن آنها متفاوت است، اما خواص بسیار متفاوتی دارند. الماس عایق است و بسیار سخت در حالیکه گرافیت رسانا و نرم است.

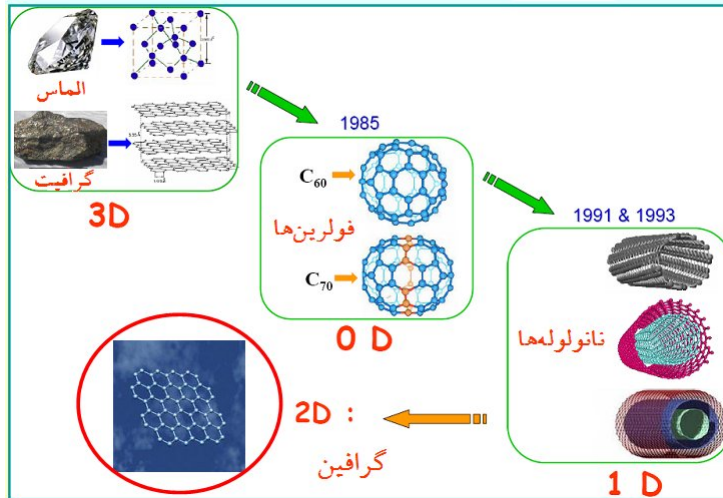
در سال ۱۹۸۵ اولین ماده کربنی خالص مصنوعی، مولکول کروی به نام فلورین کشف شد. از آن به بعد تحقیقات زیادی روی سایر مواد کربنی محض صورت گرفت. در سال ۱۹۹۱، کربن به شکل نانولوله شبه یک بعدی تولید شد. پس از کشف آزمایشگاهی گرافین دو بعدی در سال ۲۰۰۴ توسط آندره گایم<sup>۱</sup> و کوستیا نووسلوف<sup>۲</sup> تحول مهمی در علم مواد الکترونی به وجود آمد، که باعث تحول عظیم علمی در مطالعه خواص الکترونی شد. همین امر جایزه نوبل فیزیک ۲۰۱۰ را برای آنها در پی داشت.

---

<sup>۱</sup> Andre Geim

<sup>۲</sup> Kostya Novoselov

در بین سیستم‌های فقط شامل کربن، گرافین تنها گونه دو بعدی کربن است که می‌تواند به عنوان اساس ساخت سایر مواد گرافیتی در نظر گرفته شود و مبنای فهم خواص الکترونی در گونه‌های دیگر است [۱].



**شکل ۱-۱.** مادر تمام ساختارهای گرافیت، گرافین است. این ساختار دو بعدی می‌تواند به صورت فلورین صفر بعدی در هم پیچیده شود، نقش یک نانولوله دو بعدی را بازی کند و یا به گرافیت سه بعدی تبدیل شود [۲].

فلورین را می‌توان به عنوان گرافین به هم پیچیده ی صفر بعدی در نظر گرفت، نانولوله‌ها به عنوان گرافین لوله شده یک بعدی و گرافیت توده ای از گرافین است و سه بعدی است. به همین دلیل نظریه ی گرافین به مدت ۶۰ سال مورد بررسی قرار گرفته بود. با این حال برای مدت طولانی فرض شده بود که گرافین نمی‌تواند به صورت آزاد در طبیعت یافت شود. این ایده توسط لاندائو<sup>۱</sup> و پیرز<sup>۲</sup> مطرح شد که بلورهای دقیقاً دو بعدی نمی‌توانند وجود داشته باشند. زیرا آن‌ها به لحاظ ترمودینامیکی ناپایدارند. در واقع دمای ذوب لایه‌های نازک با کاهش ضخامت، به سرعت کاهش می‌یابد. اما با کشف گرافین در آزمایشگاه، این قانون دچار تناقض شد. با این وجود باز می‌توان قرارداد کرد که نظریه آن‌ها برقرار باشد، چون صفحه گرافین بتدریج در بعد سوم مجاله می‌شود و دقیقاً دو بعدی نیست [۲].

<sup>۱</sup> Landau

<sup>۲</sup> Peierls

گرافین، تنها ساختار دو بعدی کربن، لایه ای از گرافیت به ضخامت یک اتم است که اتم‌های کربن روی شبکه لانه زنبوری، شش ضلعی‌های منتظم قرار گرفته اند. به خاطر رفتار شگفت‌آور و غیر معمول این سیستم دو بعدی و کاربردهای عملی فراوان این ماده، تحقیقات گسترده ای روی این ماده صورت گرفته است. این رفتار غیر عادی به رابطه‌ی پاشندگی خطی و در نتیجه پیروی دینامیک الکترون‌ها از معادله‌ی نسبیتی دیراک بدون جرم مربوط می‌شود. از طرفی الکترون‌های برانگیخته در گرافین به صورت ذراتی با جرم صفر رفتار می‌کنند. پس معادله‌ی حاکم بر گرافین همانند معادله‌ی نوترینوی باردار است! [۱]

به نظر می‌رسد که گرافین به خاطر قابلیت آن در ساخته شدن در ابعاد بسیار کوچک و بسیاری ویژگی‌های مناسب الکتریکی و عملکرد با سرعت بالاتر نسبت به سیلیکون جایگزین مناسبی برای سیلیکون و حرکت به سمت نانو الکترونیک مدرن است. گرافین نیمرسانایی بدون گاف انرژی است که حامل‌های بار آن در انرژی‌های کم، شبیه فرمیون‌های بدون جرم دیراک رفتار می‌کنند. در نتیجه یک سیستم ماده چگال در دسترس به صورت آزمایشگاهی، برای مطالعه مکانیک کوانتومی نسبیتی است. الکترون‌ها در آن رفتار تراپردی شبه-پرتابی از خود نشان داده و با مقاومت کمی که در برابر خود می‌بینند گرمای اندکی تولید می‌کنند، از طرفی آزمایش‌های اخیر نشان از رسانندگی گرمایی بالای گرافین می‌دهد که دارای رسانندگی گرمایی بالاتری نسبت به نانو لوله‌های کربنی است. همچنین آزمایش‌های اخیر خبر از تحرک پذیری بالای الکترون‌ها در گرافین حتی در دمای اتاق می‌دهد که در مقایسه با بالاترین تحرک پذیری ثبت شده در *MOSFET*، که در دمای کم به دست آمده بسیار بزرگ‌تر است.

این ویژگی‌های مطلوب ذکر شده در گرافین و همچنین قابلیت کنترل نوع و چگالی حامل‌های بار در گرافین به وسیله‌ی ولتاژ دریاچه، آن را مناسب برای ساخت قطعات نانو الکترونیک مدرن ساخته است.

در بررسی خواص تراپردی گرافین، باید اثرات لبه‌های متفاوت روی خواص تراپردی ابزارهای گرافینی به اندازه نانومتر، بررسی شود. به ویژه این که دو شکل پایه ای لبه، به نام‌های زیگراگ و دسته مبلی، منجر به طیف‌های الکترونی متفاوتی برای نانو نوارها می‌شود.



## ۱-۲. پایداری در دو بعد

وجود بلور دو بعدی و این که تحت شرایط خاصی پایدار باشد به خودی خود شگفت‌انگیز است. به موجب قضیه مرمین - وگنر، نظم بلند برد در سیستم دو بعدی نمی‌تواند وجود داشته باشد. پس در هر دمایی در سیستم بلوری دو بعدی جابجایی ساختاری ظاهر خواهد شد. در توصیف استاندارد نوسانات اتمی، دامنه نوسانات اتمی  $u$  حول جایگاه تعادلی شان، خیلی کوچک تر از فواصل بین اتمی،  $d$ ، است. در غیر اینصورت بلور بر طبق معیار تجربی لیندمن ذوب می‌شود ( در نقطه ذوب  $u = 0.1 d$  ).

به عنوان نتیجه‌ای از دامنه نوسانات کوچک، تصویر گاز ایده آل فونون‌ها، می‌تواند به خوبی ترمودینامیک جامدات را توصیف کند. در تقریب هماهنگ، فونون‌ها کوانتای امواج جابجایی اتمی هستند. در سیستم‌های سه بعدی، این نوسانات اتمی در تقریب هماهنگ، در دمای به قدر کافی پایین، کوچک و مسئله خودسازگار است. ولی در بلور دو بعدی تعداد فونون‌ها با طول موج بلند در دماهای پایین واگرا می‌شود و بنابر این فواصل اتمی محاسبه شده در تقریب هماهنگ واگرا می‌شود. به همین خاطر، بلور دو بعدی به خاطر افت و خیزهای شدید خمشی با طول موج‌های بلند مجاله می‌شود. تا اینکه دو دهه پیش نظریه پردازان نشان دادند که این افت و خیزهای گرمایی شدید می‌توانند از طریق برهم کنش غیرهماهنگ ( غیر خطی ) بین انرژی خمیدگی و کششی از بین بروند. در نتیجه پوسته‌های بلورین دوبعدی می‌توانند وجود داشته باشند اما به شرطی که سطح موج دار باشد. این باعث نوسانات یا زبری سطح دو بعدی می‌شود که به طور نوعی با اندازه سطح رابطه دارد. این امواج در گرافین مشاهده شده اند و در خواص الکترونیکی نقش مهمی بازی می‌کنند [۳].

نکته مهم دیگر نقش نواقص هندسی در پایداری ترمودینامیکی بلور دوبعدی است. تعداد محدود ناجابجایی‌ها<sup>۱</sup> و ناهم خطی‌ها<sup>۲</sup>، نظم بلند برد از نوع انتقالی<sup>۳</sup> و یا سمتی<sup>۴</sup> را نقض خواهد کرد. یک تحلیل دقیق نشان می‌دهد که ناجابجایی‌ها در یک غشای نرم، انرژی محدود

---

<sup>۱</sup> Dislocation

<sup>۲</sup> Dislination

<sup>۳</sup> Translational

<sup>۴</sup> Orientational

دارند ( در مرتبه انرژی همدوسش ) که ناشی از پوشیده شدن تغییر شکل های خمشی است. درحالیکه انرژی ناهم خطی به طور لگاریتمی با اندازه سیستم واگرا می شود. و این به این معنی است که به طور قطع نظم بلند برد جابجایی و نظم جهتی در هر دمای محدودی شکسته می شود. ولی وقتی یک برهم کنش قوی در بلورهای دوبعدی مثل گرافین، وجود داشته باشد این محدودیت چندان مشکل ساز نیست [۱].

### ۱-۳. دلیل توجه به گرافین

گرافین، نازک ترین ماده شناخته شده در جهان، کیفیت الکترونیکی فوق العاده ای از خود نشان داده است به طوری که در اثر میدان الکتریکی حامل های بار می تواند به طور پیوسته بین الکترون و حفره تنظیم شوند و با وجود چگالی به بزرگی  $10^{13} \text{ cm}^{-3}$ ، تحرک پذیری آن حتی تحت شرایط محیط به بیشتر از  $15000 \text{ cm}^2 \text{ v}^{-1} \text{ s}^{-1}$  می رسد. از خواص عجیب گرافین، مشاهده اثر کوانتومی هال در دمای اتاق است. میانگین پویس آزاد بزرگ و حتی چند برابر فاصله بین اتمی دارد و الکترون ها فواصل میکرومتری را در دمای اتاق بدون پراکندگی طی می کند. ابرسانای حرارتی و دارای مقاومت مکانیکی عالی است. غیر قابل نفوذ حتی توسط مولکول های کوچک هلیوم است. به خاطر سرعت بالای حامل های بار (  $1/300$  سرعت نور) از معادله شرودینگر پیروی نمی کند و نمونه خوبی برای نظریه کوانتومی ذرات نسبیته بدون جرم است. این خواص می توانند ایجاد انگیزه کنند که روی تراپرد الکترونی نانونوارهای گرافینی کار کنیم [۲].

### ۱-۴. ویژگی های اصلی الکترونی گرافین

#### ۱-۴-۱. ساختار شبکه

گرافین از اتم های کربنی تشکیل شده که در ساختار شش گوشه آرایش یافته اند. همان طور که در شکل ۱-۲ نشان داده شده این ساختار می تواند به صورت شبکه سه گوش با پایه دو اتمی در هر یاخته واحد در نظر گرفته شود. بردارهای شبکه می توانند به صورت زیر

نوشته شوند [۴]:

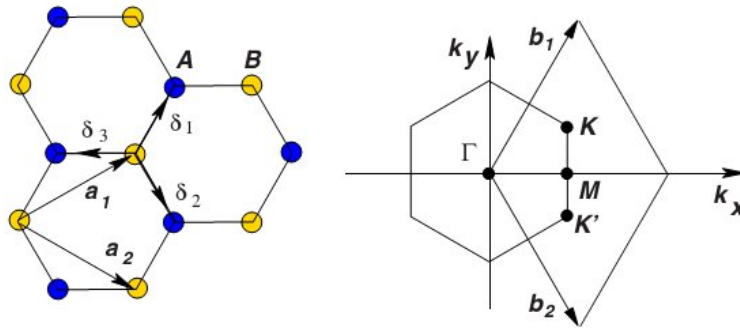
$$a_1 = \frac{a}{2}(3, \sqrt{3}), \quad a_2 = \frac{a}{2}(3, -\sqrt{3}) \quad (1-1)$$

که  $a \approx 1.42^{\circ} A$  فاصله کربن - کربن است. بردارهای شبکه وارون نیز به این صورت است:

$$b_1 = \frac{2\pi}{3a}(1, \sqrt{3}), \quad b_2 = \frac{2\pi}{3a}(1, -\sqrt{3}) \quad (2-1)$$

اهمیت فیزیکی ویژه گرافین در دو نقطه  $K, K'$  در گوشه‌های منطقه بریلوئن ( $BZ$ ) است. این‌ها نقاط دیراک نامیده می‌شوند که بعداً توضیح داده خواهد شد. مکان آن‌ها در فضای تکانه عبارتند از:

$$K = \left(\frac{2\pi}{3a}, \frac{2\pi}{3\sqrt{3}a}\right), \quad K' = \left(\frac{2\pi}{3a}, -\frac{2\pi}{3\sqrt{3}a}\right) \quad (3-1)$$



شکل ۱-۲. چپ: شبکه لانه زنبوری. راست: شبکه وارون لانه زنبوری

بردارهای سه همسایه اول در فضای واقعی عبارتند از:

$$\delta_1 = \frac{a}{2}(1, \sqrt{3}), \quad \delta_2 = \frac{a}{2}(1, -\sqrt{3}), \quad \delta_3 = -a(1, 0) \quad (4-1)$$

در حالیکه شش همسایه دوم در مکان‌های  $\delta' = \pm a_1, \delta' = \pm a_2, \delta' = \pm(a_2 - a_1)$  قرار گرفته‌اند.

## ۱-۴-۲. ساختار نواری

همیلتونی بستگی قوی برای الکترون‌ها در گرافین با در نظر گرفتن همسایه اول و دوم به شکل زیر است :

$$H = -t \sum_{\langle i,j \rangle, \sigma} (a_{\sigma,i}^+ b_{\sigma,j} + H.c.) - t' \sum_{\langle\langle i,j \rangle\rangle, \sigma} (a_{\sigma,i}^+ a_{\sigma,j} + b_{\sigma,i}^+ b_{\sigma,j} + H.c.) \quad (۵-۱)$$

که  $a_{i,\sigma} (a_{i,\sigma}^+)$  عملگر نابودی (خلق) یک الکترون با اسپین  $\sigma (\sigma = \uparrow, \downarrow)$  در مکان  $R_i$  روی زیرشبکه  $A$  است (تعریفی معادل نیز برای زیر شبکه  $B$  به کار رفته است)،  $(t \approx 2.7 eV)$  انرژی جهش<sup>۱</sup> نزدیک‌ترین همسایه (جهش بین زیرشبکه‌های متفاوت)،  $t'$  انرژی جهش همسایه دوم<sup>۲</sup> (جهش در زیرشبکه‌های یکسان) است [۶].

برای پیدا کردن ساختار نواری گرافین، باید ویژه مقادیر معادله شرودینگر را محاسبه کنیم. به همین منظور، همیلتونی را برای تک الکترون گرافین به صورت زیر می‌نویسیم [۷]:

$$H \xi_k(r) = E \xi_k(r) \quad , \quad H = \frac{p^2}{2m} + \sum_R V(r-R) \quad (۶-۱)$$

جمله اول انرژی جنبشی الکترون و جمله دوم پتانسیل تناوبی را توصیف می‌کند. برای تابع موج الکترون برحسب دو زیرشبکه  $A$  و  $B$  داریم:

$$\xi_k(r) = \psi_A \phi_A^k(r) + \psi_B \phi_B^k(r) \quad (۷-۱)$$

که  $\phi_A^k(r)$  و  $\phi_B^k(r)$  توابع بلوخ اند و داده شده اند با:

$$\phi_{A/B}^k(r) = \frac{1}{\sqrt{N_c}} \sum_{R_{A/B}} e^{ikR_{A/B}} \chi(r - R_{A/B}) \quad (۸-۱)$$

$N_c$  تعداد یاخته‌های واحد است و  $R_{A/B}$ ، نماد مکان اتم  $A/B$  است.  $\chi(r - R_{A/B})$  توابع جایگزیده در آن اتم‌ها هستند. فاکتور  $e^{ikR_{A/B}}$  به دلیل خصلت تناوبی بودن شبکه است. ضرایب

<sup>۱</sup> - hopping

<sup>۲</sup> - مقدار  $t'$  بدرستی شناخته شده نیست، اما در محاسبات نسبت  $0.02t < t' < 0.2t$  را پیدا کرده اند که بسته به پارامترهای مدل بستگی قوی،  $t' \approx 0.1eV$  را اندازگیری کردند [۵]. *S. Reich, J Maultzsch, C. Thomsen, Phys. Rev. B.* 66(2002) 035412.